

© 2021 г. В.С. ВЕРБА, член-корр. РАН, д-р техн. наук (vvs.msk@gmail.com)
(АО “Концерн “Вега”, Москва)

МЕТОДЫ НАВЕДЕНИЯ ЛЕТАТЕЛЬНЫХ АППАРАТОВ СО СМЕНОЙ ПРИОРИТЕТОВ УПРАВЛЕНИЯ¹

Рассмотрены варианты реализации смены управленческих приоритетов в процессе наведения летательных аппаратов, основанные на использовании нестационарных моделей состояния, переменных коэффициентов штрафов функционалов качества и учете несоответствия динамических свойств перехватчика и цели. Для каждого варианта приведены конкретные примеры синтеза метода наведения и проведен их анализ.

Ключевые слова: смена управленческих приоритетов, локальная оптимизация систем наведения, нестационарные методы самонаведения.

DOI: 10.31857/S0005231021090026

1. Введение

Современное противоборство в воздушно-космической сфере характеризуется групповым применением как средств нападения, так и защиты с быстрой сменой обстановки и скоротечностью боестолкновений уже в процессе применения средств поражения [1, 2].

Изменение текущей обстановки, связанное с появлением более опасных или более благоприятных для поражения целей, при групповом противостоянии или выявлении либо защите приоритетных целей (авиационных комплексов радиолокационного дозора и наведения [3], самолетов-ретрансляторов, топливозаправщиков [4] и т.д.) предопределяет необходимость изменения приоритетов уже пущенных ракет.

Кроме того, весьма перспективным при групповых действиях является пуск ракет-перехватчиков в центр группы с выбором конкретной цели, в том числе и приоритетной в процессе приближения к группе [5].

При этом необходимо отметить все нарастающую сложность требований, предъявляемых к используемым методам наведения [6], обусловленную необходимостью одновременного удовлетворения нескольким, зачастую противоречащим друг другу, критериям. В частности, к таким задачам можно отнести индивидуальное наведение на отдельную цель (например, наиболее опасную, приоритетную и т.д.) в составе плотной неразрешаемой по угловым коор-

¹ Работа выполнена при финансовой поддержке Российского фонда фундаментальных исследований (проект № 19-08-00060-а).

динамам классическими способами группы, когда вначале необходимо разрешить цели за счет траекторного управления наблюдением [5, 7], обеспечивая тем самым ее автоматическое сопровождение, а затем на конечном участке обеспечить минимизацию линейного промаха [8] по выбранной цели.

Еще одним примером необходимости решения двухкритериальных задач для летательных аппаратов (ЛА) является формирование сигналов совместного группового управления, которое должно обеспечить и полет по маршруту, и построение требуемой топологии (строя) участников.

Можно привести еще целый ряд новых многокритериальных задач управления.

В связи с этим весьма актуальной становится задача оптимизации законов управления ЛА со сменой приоритетов в процессе функционирования. Эта задача может решаться различными способами. Наиболее простой способ — принудительная смена закона управления через определенное время полета, в том числе и путем введения в него дополнительных слагаемых, либо принудительная смена в используемом законе требуемых координат состояния [9]. Однако такой способ приводит к появлению дополнительных, достаточно значительных переходных процессов, которые отрицательно сказываются как на стабильности траектории полета, так и на работе информационных систем, особенно систем сопровождения по угловым координатам.

Более рациональным является способ постепенной смены приоритетов управления на основе использования нестационарных методов наведения [6], не приводящий к появлению значительных переходных процессов при формировании траектории полета.

Частично вопросы такого управления летательными аппаратами в изменяющейся обстановке рассмотрены в [10–14].

Цель статьи — рассмотреть на конкретных примерах возможные наиболее эффективные варианты синтеза нестационарных законов наведения ЛА, обеспечивающих плавное перераспределение управленческих приоритетов в процессе полета.

В основу этих вариантов будут положены:

- использование нестационарных моделей состояния;
- использование переменных коэффициентов в матрице штрафов за величину управления;
- использование переменных коэффициентов в матрицах штрафов за точность функционирования;
- учет несоответствия динамических свойств цели и перехватчика.

В свою очередь, определение момента начала перераспределения управленческих функций может выполняться по различным признакам:

- по достижении координатами состояний тех или иных значений (дальности, скорости, углов и т.д.);
- по факту приближения к максимально допустимым ошибкам управления либо ошибкам автоматического сопровождения;
- по факту достижения определенных перегрузок и т.д.

В общем случае задача синтеза управления с перераспределением приоритетов в процессе траекторного управления может решаться различными способами [15]. Далее она будет решаться на основе наиболее простой разновидности локальной оптимизации статистической теории оптимального управления. Эта модификация позволяет для системы [8]

$$(1) \quad \dot{\mathbf{x}}(t) = \mathbf{F}(t)\mathbf{x}(t) + \mathbf{B}(t)\mathbf{u}(t) + \xi_x(t), \quad \mathbf{x}(0) = \mathbf{x}_0,$$

включающей n -мерную модель требуемого движения цели

$$(2) \quad \dot{\hat{\mathbf{x}}}_T(t) = \mathbf{F}_T(t)\hat{\mathbf{x}}_T(t), \quad \hat{\mathbf{x}}_T(0) = \hat{\mathbf{x}}_{T0}$$

и n -мерную модель перехватчика

$$(3) \quad \dot{\hat{\mathbf{x}}}_y(t) = \mathbf{F}_y(t)\hat{\mathbf{x}}_y(t) + \mathbf{B}_y(t)\mathbf{u}(t) + \xi_y(t), \quad \hat{\mathbf{x}}_y(0) = \hat{\mathbf{x}}_{y0},$$

при наличии измерений

$$(4) \quad \mathbf{z}(t) = \mathbf{H}\mathbf{x}(t) + \xi_z(t)$$

сформировать управление

$$(5) \quad \mathbf{u}(t) = \mathbf{K}^{-1}\mathbf{B}_y^T\mathbf{Q}(\hat{\mathbf{x}}_T(t) - \hat{\mathbf{x}}_y(t)),$$

минимизирующее функционал качества

$$(6) \quad I = M \left\{ \int_0^t \mathbf{u}^T(t)\mathbf{K}(t)\mathbf{u}(t)dt + (\hat{\mathbf{x}}_T(t) - \hat{\mathbf{x}}_y(t))^T\mathbf{Q}(t)(\hat{\mathbf{x}}_T(t) - \hat{\mathbf{x}}_y(t)) \right\}$$

в каждый текущий момент времени t .

Здесь \mathbf{u} — r -мерный ($r \leq n$) вектор управления; $\hat{\mathbf{x}}_T$ и $\hat{\mathbf{x}}_y$ — векторы оптимальных оценок процессов (2) и (3) формируемых по измерениям (4), $\xi_x(t)$, $\xi_y(t)$ и $\xi_z(t)$ — центрированные векторы гауссовских возмущений состояния и измерений с известными матрицами интенсивностей.

$\mathbf{F}_T(t)$, $\mathbf{F}_y(t)$ и $\mathbf{B}_y(t)$ — в общем случае нестационарные матрицы внутренних связей и эффективности управления; $\mathbf{Q}(t)$ и $\mathbf{K}(t)$ — неотрицательно и положительно определенные матрицы штрафов за неточность функционирования и величину сигналов управления; \mathbf{z} — m -мерный ($m \leq 2n$) вектор измерений; \mathbf{H} — матрица связи измерений и состояния; M — знак операции математического ожидания.

2. Перераспределение приоритетов управления при использовании нестационарных моделей состояния

В математическом плане задача синтеза закона управления в горизонтальной плоскости формулируется следующим образом.

Для объекта управления, угловое положение которого относительно подвижной цели определяется системой уравнений [8]:

$$(7) \quad \dot{\varphi}_\Gamma = \omega_\Gamma + \frac{j_\Gamma - j_{ЦГ}}{\dot{D}},$$

$$(8) \quad \dot{\omega}_\Gamma = -\frac{2\dot{D}}{D}\omega_\Gamma - \frac{j_\Gamma - j_{ЦГ}}{D} + \xi_{\omega_\Gamma},$$

предназначенного для наведения в упрежденную точку встречи под углом $\varphi_{\Gamma T}$, необходимо сформировать сигнал управления j_Γ , оптимальный по минимуму функционала

$$(9) \quad I = M_y \left\{ \left[\begin{array}{c} \varphi_{\Gamma T} - \varphi_\Gamma \\ 0 - \omega_\Gamma \end{array} \right]^T \left[\begin{array}{cc} q_\varphi & 0 \\ 0 & q_\omega \end{array} \right] \left[\begin{array}{c} \varphi_{\Gamma T} - \varphi_\Gamma \\ 0 - \omega_\Gamma \end{array} \right] + \int_0^t j_\Gamma^2 k_j dt \right\},$$

который обеспечивает устранение угловых ошибок

$$(10) \quad \Delta\varphi = \varphi_{\Gamma T} - \varphi_\Gamma$$

и линейных промахов [8]

$$(11) \quad h = \frac{D^2 \omega_\Gamma}{V_{отн}}.$$

Здесь $\varphi_{\Gamma T}$ – требуемый и φ_Γ – текущий бортовые пеленги, ω_Γ – угловая скорость линии визирования, D и \dot{D} – дальность до цели и скорость ее изменения, $j_{ЦГ}$ – поперечное ускорение цели, q_φ , q_ω и k_j – коэффициенты штрафов за величину угловых ошибок $\varphi_{\Gamma T} - \varphi_\Gamma$, линейного промаха (11) и величину сигнала управления. Геометрия взаимного расположения цели и перехватчика при использовании (7)–(10) показана на рис. 1, на котором O_Π , O_Γ и $O_{УТВ}$ – соответственно точки расположения перехватчика, цели и упрежденной точки встречи, а $V_{Ц}$ и V_Π – векторы скорости цели и перехватчика.

Выбор в качестве управляющего сигнала наводимого объекта (7), (8) поперечного ускорения j_Γ , а не угол отклонения аэродинамических рулей обусловлен необходимостью обеспечить его инвариантность к высоте полета, поскольку эффективность рулей зависит от плотности воздуха (высоты полета). При таком подходе с увеличением высоты (снижении плотности воздуха) автоматически будут увеличиваться углы отклонения рулей до величин, реализующих требуемые значения поперечной перегрузки.

Поставив в соответствие (7)–(10) с (1)–(6), будем иметь совокупность векторно-матричных соотношений, в которых для упрощения записей будет опущена зависимость векторов и матриц от времени

$$(12) \quad \mathbf{x}_\Gamma = \begin{bmatrix} \varphi_{\Gamma T} \\ 0 \end{bmatrix}, \quad \mathbf{x}_y = \begin{bmatrix} \varphi_\Gamma \\ \omega_\Gamma \end{bmatrix}, \quad \mathbf{u} = j_\Gamma - j_{ЦГ}, \quad \boldsymbol{\xi}_x = \begin{bmatrix} 0 \\ \xi_{y\Gamma} \end{bmatrix},$$

$$\mathbf{B}_y = \begin{bmatrix} 1/\dot{D} \\ -1/D \end{bmatrix}, \quad \mathbf{Q} = \begin{bmatrix} q_\varphi & 0 \\ 0 & q_\omega \end{bmatrix}, \quad \mathbf{K} = k_j.$$

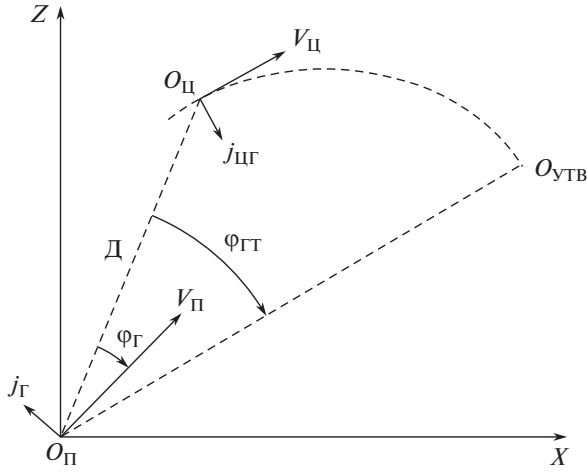


Рис. 1. Геометрия взаимного расположения цели и перехватчика при использовании представлений (7)–(10).

Используя (12) в (5), получим

$$\begin{aligned} \mathbf{u} &= \mathbf{K}^{-1} \mathbf{B}_y^T \mathbf{Q} (\hat{\mathbf{x}}_T - \hat{\mathbf{x}}_y) = \frac{1}{k_j} \begin{bmatrix} 1 & -1 \\ \hat{\Delta} & \hat{\Delta} \end{bmatrix} \begin{bmatrix} q_\varphi & 0 \\ 0 & q_\omega \end{bmatrix} \begin{bmatrix} \hat{\varphi}_{ГТ} - \hat{\varphi}_Г \\ 0 - \hat{\omega}_Г \end{bmatrix} = \\ &= \begin{bmatrix} q_\varphi & -q_\omega \\ k_j \hat{\Delta} & -k_j \hat{\Delta} \end{bmatrix} \begin{bmatrix} \hat{\varphi}_{ГТ} - \hat{\varphi}_Г \\ 0 - \hat{\omega}_Г \end{bmatrix}. \end{aligned}$$

Тогда:

$$(13) \quad j_Г = K_\varphi (\hat{\varphi}_{ГТ} - \hat{\varphi}_Г) + K_\omega \hat{\omega}_Г + \hat{j}_{ЦГ};$$

$$(14) \quad K_\varphi = \frac{q_\varphi}{k_j \hat{\Delta}}, \quad \hat{\Delta} < 0; \quad K_\omega = \frac{q_\omega}{k_j \hat{\Delta}}, \quad K_\omega \leq K_{\omega \max}.$$

Анализ (13), (14) позволяет сделать следующие выводы.

На больших расстояниях, когда $\omega_\Gamma \rightarrow 0$, коэффициент передачи угловой скорости $q_\omega/k_j\hat{\Delta}$ также мал. Основным приоритетом управления, определяемого первым слагаемым (13), становится устранение угловой ошибки $\varphi_{ГТ} - \varphi_\Gamma$ (рис. 1), что обеспечивает полет по требуемому направлению $\varphi_{ГТ}$. По мере подлета к цели увеличиваются как значения ω_Γ , так и коэффициента ее передачи $q_\omega/k_j\hat{\Delta}$. В итоге, начиная с некоторой дальности при малых значениях уже устраненной угловой ошибки $\varphi_{ГТ} - \varphi_\Gamma$, превалирующим становится второе слагаемое, реализующее устранение линейного промаха (11).

Специфической особенностью (13), (14) является гиперболический характер изменения коэффициента передачи K_ω , нелинейно нарастающего по мере уменьшения дальности (рис. 2). С одной стороны, это усиливает тенденцию уменьшения линейных промахов (11), а с другой стороны, предопределяет введение ограничения на K_ω .

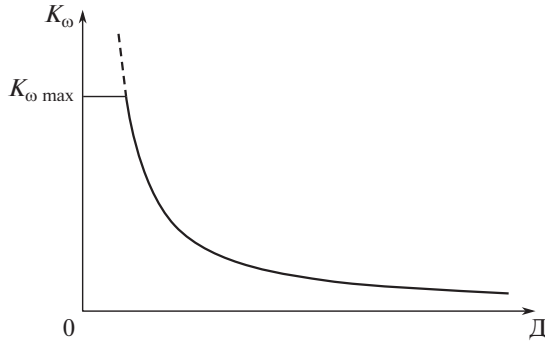


Рис. 2. Зависимость K_ω от дальности.

В состав системы наведения, реализующей (13), (14), должны входить устройства формирования оценок дальности \dot{D} , скорости \ddot{D} , требуемого бортового пеленга $\varphi_{\Gamma\Gamma}$, текущего пеленга φ_Γ , угловой скорости ω_Γ и поперечного ускорения цели $j_{ЦГ}$.

Сигнал управления зависит не от абсолютных значений штрафов, а от их соотношения q_φ/k_j и q_ω/k_j , что существенно облегчает их выбор. Правила выбора рациональных соотношений коэффициентов штрафов рассмотрены в [8, 16].

В заключение необходимо отметить, что метод (13), (14), обеспечивая перехват маневрирующих целей за счет учета $j_{ЦГ}$, также является всеракурсным и всевысотным [8] и при наведении в упрежденную точку встречи обеспечивает полет по более прямолинейной траектории с соответствующим уменьшением затрат на управление.

3. Перераспределение управляющих функций при использовании нестационарной матрицы штрафов за величину сигнала управления

Задача синтеза управления летательным аппаратом в горизонтальной плоскости формулируется следующим образом.

Для объекта управления (7), (8) необходимо сформировать сигнал управления j_Γ , оптимальный по минимуму функционала

$$(15) \quad I = M_y \left\{ \begin{bmatrix} \varphi_{\Gamma\Gamma} - \varphi_\Gamma \\ 0 - \omega_\Gamma \end{bmatrix}^T \begin{bmatrix} q_\varphi & 0 \\ 0 & q_\omega \end{bmatrix} \begin{bmatrix} \varphi_{\Gamma\Gamma} - \varphi_\Gamma \\ 0 - \omega_\Gamma \end{bmatrix} + \int_0^t j_\Gamma^2 \left(\frac{-k_j}{\dot{D}} \right) dt \right\}.$$

Сравнивая (7), (8) и (15) с (2), (3), (6), получим

$$(16) \quad \mathbf{x}_\Gamma = \begin{bmatrix} \varphi_{\Gamma\Gamma} \\ 0 \end{bmatrix}, \quad \mathbf{x}_y = \begin{bmatrix} \varphi_\Gamma \\ \omega_\Gamma \end{bmatrix}, \quad \mathbf{u} = j_\Gamma - j_{ЦГ}, \quad \boldsymbol{\xi}_x = \begin{bmatrix} 0 \\ \xi_y \end{bmatrix},$$

$$\mathbf{B}_y = \begin{bmatrix} 1/\dot{D} \\ -1/\dot{D} \end{bmatrix}, \quad \mathbf{Q} = \begin{bmatrix} q_\varphi & 0 \\ 0 & q_\omega \end{bmatrix}, \quad \mathbf{K} = -\frac{k_j}{\dot{D}}.$$

Отличаем (15) и (16) от (9) и (12) является зависимость матрицы штрафа \mathbf{K} от скорости сближения.

Подставляя (16) в (5), получим:

$$\mathbf{u} = -\frac{\hat{\Delta}}{k_j} \begin{bmatrix} 1 & -1 \\ \hat{\Delta} & -\hat{\Delta} \end{bmatrix} \begin{bmatrix} q_\varphi & 0 \\ 0 & q_\omega \end{bmatrix} \begin{bmatrix} \hat{\varphi}_{\Gamma T} - \hat{\varphi}_\Gamma \\ 0 - \hat{\omega}_\Gamma \end{bmatrix} = \begin{bmatrix} -\frac{q_\varphi}{k_j} & \frac{q_\omega \hat{\Delta}}{k_j \hat{\Delta}} \\ \frac{q_\varphi \hat{\Delta}}{k_j \hat{\Delta}} & -\frac{q_\omega}{k_j} \end{bmatrix} \begin{bmatrix} \hat{\varphi}_{\Gamma T} - \hat{\varphi}_\Gamma \\ 0 - \hat{\omega}_\Gamma \end{bmatrix};$$

$$(17) \quad j_{\Gamma k} = K_{\varphi k}(\hat{\varphi}_{\Gamma T} - \hat{\varphi}_\Gamma) - K_{\omega k} \hat{\omega}_\Gamma + j_{\text{ЦГ}};$$

$$(18) \quad K_{\varphi k} = -\frac{q_\varphi}{k_j}; \quad K_{\omega k} = \frac{q_\omega \hat{\Delta}}{k_j \hat{\Delta}}, \quad K_{\omega k} \leq K_{\omega \text{max}}.$$

Алгоритм траекторного управления (17), (18) качественно повторяет закон (13), (14), поэтому для него справедливы выводы, сделанные при анализе в разделе 2. Отличия состоят в утрате зависимости $K_{\varphi k}$ от скорости сближения, что упрощает выбор значений коэффициентов штрафов q_φ и q_ω , при которых начинается превалирование управления, минимизирующего линейный промах (11). При этом усложняется зависимость коэффициента $K_{\omega k}$ от условий применения, поскольку он учитывает еще и зависимость от скорости сближения.

4. Перераспределение приоритетов управления при использовании нестационарных матриц штрафов за точность функционирования

В основе любого способа перераспределения управленческих функций в процессе функционирования лежат нестационарные методы управления [6], которые могут быть получены не только за счет использования нестационарных моделей состояния, но и за счет использования переменных матриц штрафов за неточность функционирования, связанных с законами изменения тех или иных координат состояния.

Далее в качестве примера будет рассмотрен один из простейших приемов синтеза такого управления в рамках представлений (1)–(6).

В простейшем случае постановка задачи синтеза нестационарного управления может быть сформулирована следующим образом.

Для системы

$$(19) \quad \begin{aligned} \dot{\varphi}_\Gamma &= \omega_\Gamma, & \varphi_\Gamma(0) &= \varphi_{\Gamma 0}; \\ \dot{\omega}_\Gamma &= -\frac{2\dot{\Delta}}{\Delta} \omega_\Gamma - \frac{1}{\Delta} j_\Gamma + \xi_\omega, & \omega_\Gamma(0) &= \omega_{\Gamma 0}, \end{aligned}$$

предназначенной для отработки требуемых значений направления полета $\varphi_{\Gamma T}$ и угловой скорости $\omega_{\Gamma T}$, необходимо сформировать сигнал управления j_Γ , оптимальный по минимуму функционала

$$(20) \quad I = M_y \left\{ \begin{bmatrix} \varphi_{\Gamma T} - \varphi_\Gamma \\ \omega_{\Gamma T} - \omega_\Gamma \end{bmatrix}^T \begin{bmatrix} q_{11} & \frac{q_{12}\Delta}{\dot{\Delta}} \\ \frac{q_{21}\Delta}{\dot{\Delta}} & q_{22} \end{bmatrix} \begin{bmatrix} \varphi_{\Gamma T} - \varphi_\Gamma \\ \omega_{\Gamma T} - \omega_\Gamma \end{bmatrix} + \int_0^t j_\Gamma^2 k_j dt \right\}.$$

Поставив в соответствие (19) с (2), (3), а (20) с (6), будем иметь:

$$(21) \quad \mathbf{x}_T = \begin{bmatrix} \varphi_{\Gamma T} \\ \omega_{\Gamma T} \end{bmatrix}, \quad \mathbf{x}_y = \begin{bmatrix} \varphi_{\Gamma} \\ \omega_{\Gamma} \end{bmatrix}, \quad \mathbf{B}_y = \begin{bmatrix} 0 \\ -1/\mathcal{D} \end{bmatrix};$$

$$\mathbf{Q} = \begin{bmatrix} q_{11} & \frac{q_{12}\mathcal{D}}{\dot{\mathcal{D}}} \\ \frac{q_{21}\mathcal{D}}{\dot{\mathcal{D}}} & q_{22} \end{bmatrix}, \quad \mathbf{K} = k_j, \quad \mathbf{u} = j_{\Gamma}.$$

Используя (21) в (5), получим:

$$(22) \quad j_{\Gamma} = \frac{1}{k_j} \begin{bmatrix} 0 & -\frac{1}{\hat{\mathcal{D}}} \end{bmatrix} \begin{bmatrix} q_{11} & \frac{q_{12}\mathcal{D}}{\dot{\mathcal{D}}} \\ \frac{q_{21}\mathcal{D}}{\dot{\mathcal{D}}} & q_{22} \end{bmatrix} \begin{bmatrix} \hat{\varphi}_{\Gamma T} - \hat{\varphi}_{\Gamma} \\ \hat{\omega}_{\Gamma T} - \hat{\omega}_{\Gamma} \end{bmatrix};$$

$$j_{\Gamma} = K_{\varphi q}(\hat{\varphi}_{\Gamma T} - \hat{\varphi}_{\Gamma}) - K_{\omega q}(\hat{\omega}_{\Gamma T} - \hat{\omega}_{\Gamma});$$

$$(23) \quad K_{\varphi q} = \frac{q_{21}}{\hat{\mathcal{D}}k_j}, \quad \hat{\mathcal{D}} < 0; \quad K_{\omega q} = \frac{q_{22}}{k_j\hat{\mathcal{D}}}, \quad K_{\omega q} \leq K_{\omega \max}.$$

Анализ полученного соотношения позволяет сделать следующие заключения:

– сигнал управления характеризует нестационарную систему с обратными связями по углу и угловой скорости;

– сигнал управления определяется взвешенными ошибками управления, которые обусловлены несоответствием текущих значений φ_{Γ} и ω_{Γ} требуемым $\varphi_{\Gamma T}$ и $\omega_{\Gamma T}$.

При этом на больших расстояниях, когда $\omega_{\Gamma} \approx 0$ и $\frac{q_{22}}{k_j\mathcal{D}} \approx 0$, основной вклад в управление вносит первое слагаемое, обеспечивая устранение ошибок по угловым координатам. По мере уменьшения дальности возрастает вклад второго слагаемого, обеспечивая плавный переход к превалирующему управлению по угловой скорости, реализующему те или иные режимы (минимизацию линейного промаха (11), обеспечение требуемого линейного разрешения по угловым координатам [5, 17] и т.д.);

– веса ошибок управления зависят от соотношения коэффициентов штрафов q_{21}/k_j и q_{22}/k_j и условий применения (\mathcal{D} и $\dot{\mathcal{D}}$). При этом манипулируя их величинами, можно изменять моменты перехода от управления по углу к управлению по угловой скорости, переходя к другим режимам работы системы управления либо ее информационных систем;

– в зависимости от требуемых законов изменения $\varphi_{\Gamma T}$ и $\omega_{\Gamma T}$ могут быть получены системы самого различного назначения, реализующие самые разнообразные траектории полета: от высокоточных систем наведения при $\varphi_{\Gamma T} = \frac{\mathcal{D}\omega_{\Gamma}}{K_{\mathcal{D}\mathcal{V}}}$ и $\omega_{\Gamma T} = 0$ [8] до траекторий полета, реализующих синтезирование апертуры антенны [5, 7] при

$$(24) \quad \omega_{\Gamma T} = \frac{\Delta F \lambda}{2\Delta l_T},$$

где $K_{ДВ}$ – коэффициент, зависящий от скорости сближения, ΔF – полоса пропускания доплеровского фильтра, λ – длина волны, Δl_T – требуемое линейное разрешение по азимуту;

– требования неотрицательно определенной матрицы \mathbf{Q} [8] накладывают определенные ограничения на выбор коэффициентов q_{11} , q_{22} и $q_{12} = q_{21}$, обеспечивающих функционирование системы в заданном диапазоне изменения дальности и скорости сближения;

– для реализации (22), (23) бортовая радиолокационная система должна формировать типовой набор оценок дальности, скорости сближения, углов и угловой скорости линии визирования.

Анализ законов, рассмотренных в разделах 2–4, показывает, что, несмотря на различные приемы обеспечения нестационарности, они приводят к одинаковым алгоритмам траекторного управления, в которых в качестве переключателя приоритетов используется дальность. В то же время возможны и другие варианты законов управления со сменой приоритетов управления.

В заключение необходимо отметить, что, используя более сложные модели состояния и функционалы качества с нестационарными коэффициентами матриц штрафов не только за неточность функционирования, но и за величину сигналов управления, можно получить более сложные законы управления с неоднократной сменой управленческих приоритетов, что особенно актуально при решении многокритериальных задач управления [18–20].

5. Перераспределение приоритетов управления при учете несоответствия динамических свойств цели и перехватчика

Несоответствие динамических свойств перехватчика и цели является типовым проявлением боестолкновений. При этом под динамическими свойствами понимаются не только инерционность систем управления и летательных аппаратов, но и динамика изменения координат состояния, определяемая условиями боя [21]. В связи с этим весьма востребованными являются методы наведения, в которых это несоответствие учитывается автоматически. Следует подчеркнуть, что задача учета этого несоответствия может быть решена различными способами [22, 23].

Далее будет рассмотрен один из самых простых способов учета несоответствия динамических свойств цели и перехватчика при использовании локальной оптимизации на основе представлений (1)–(6) [23].

В общем случае несоответствие динамических свойств системы (3), предназначенной для отработки процесса (2), определяется величиной детерминированной ошибки.

$$\Delta \dot{\mathbf{x}} = \dot{\mathbf{x}}_T - \dot{\mathbf{x}}_y = \mathbf{F}_T \mathbf{x}_T - \mathbf{F}_y \mathbf{x}_y - \mathbf{B}_y \mathbf{u} + \mathbf{F}_y \mathbf{x}_T - \mathbf{F}_y \mathbf{x}_T;$$

$$(25) \quad \Delta \dot{\mathbf{x}} = \mathbf{F}_y [\mathbf{x}_T - \mathbf{x}_y] - \mathbf{B}_y \mathbf{u} + [\mathbf{F}_T - \mathbf{F}_y] \mathbf{x}_T; \quad \mathbf{x}_T(0) = \mathbf{x}_{T0}, \quad \mathbf{x}_y(0) = \mathbf{x}_{y0}.$$

Анализ (25) дает возможность сделать следующие заключения.

Если динамические свойства системы (3) адекватны аналогичным свойствам (2), т.е. $\mathbf{F}_y = \mathbf{F}_T$, то при $\mathbf{u} = 0$ система (25) самостоятельно обрабатывает первоначальные ошибки $\Delta \mathbf{x}_0$.

Если $\mathbf{F}_y \neq \mathbf{F}_T$, то в (25) появляются вынужденные составляющие ошибки, которые могут быть компенсированы соответствующим выбором управления.

В [23] получено правило, которое позволяет для системы (2), (3), (25) сформировать сигнал управления

$$(26) \quad \mathbf{u} = \mathbf{K}^{-1} \mathbf{B}_y^T \left\{ \mathbf{Q}(\hat{\mathbf{x}}_T - \hat{\mathbf{x}}_y) - \mathbf{G}(\mathbf{F}_T - \mathbf{F}_y) \hat{\mathbf{x}}_T \right\},$$

оптимальный по минимуму функционала

$$(27) \quad I = M \left\{ [\hat{\mathbf{x}}_T - \hat{\mathbf{x}}_y]^T \mathbf{Q} [\hat{\mathbf{x}}_T - \hat{\mathbf{x}}_y] + 2[\hat{\mathbf{x}}_T - \hat{\mathbf{x}}_y]^T \mathbf{G} [\mathbf{F}_T - \mathbf{F}_y] \hat{\mathbf{x}}_T + \right. \\ \left. + \{[\mathbf{F}_T - \mathbf{F}_y] \hat{\mathbf{x}}_T\}^T \mathbf{Q} [\mathbf{F}_T - \mathbf{F}_y] \hat{\mathbf{x}}_T + \int_0^t \mathbf{u}^T \mathbf{K} \mathbf{u} dt \right\},$$

в котором \mathbf{Q} и \mathbf{K} – матрицы штрафов за неточность функционирования и величины сигналов управления, \mathbf{G} – матрица, учитывающая влияние несоответствия динамических свойств цели и перехватчика, а $\hat{\mathbf{x}}_T$ и $\hat{\mathbf{x}}_y$ – оптимальные оценки процессов (2) и (3).

В математическом плане задачу можно сформулировать следующим образом. Для перехватчика, моделируемого системой уравнений

$$(28) \quad \begin{aligned} \dot{\varphi}_\Pi &= \omega_\Pi, & \varphi_\Pi(0) &= \varphi_{\Pi 0}; \\ \dot{\omega}_\Pi &= -\frac{1}{T} \omega_\Pi + \frac{b}{T} j_\Pi + \xi_\Pi, & \omega_\Pi(0) &= \omega_{\Pi 0}, \end{aligned}$$

предназначенного для перехвата в горизонтальной плоскости цели, моделируемой системой

$$(29) \quad \begin{aligned} \dot{\varphi}_\Pi &= \omega_\Pi, & \varphi_\Pi(0) &= \varphi_{\Pi 0}; \\ \dot{\omega}_\Pi &= -\frac{2\dot{D}}{D} \omega_\Pi + \frac{1}{D} (j_\Pi - \dot{j}_\Pi) + \xi_\Pi, & \omega_\Pi(0) &= \omega_{\Pi 0}, \end{aligned}$$

необходимо при наличии соответствующих измерений сформировать управляющий сигнал поперечного ускорения j_Π , оптимальный по минимуму функционала (27).

Здесь: φ_Π – угол направления полета перехватчика; ω_Π – угловая скорость его изменения; T – постоянная времени маневра; b – коэффициент передачи сигнала управления; φ_Π , ω_Π и j_Π – соответственно угол линии визирования цели, ее угловая скорость и поперечное ускорение цели; D и \dot{D} – дальность

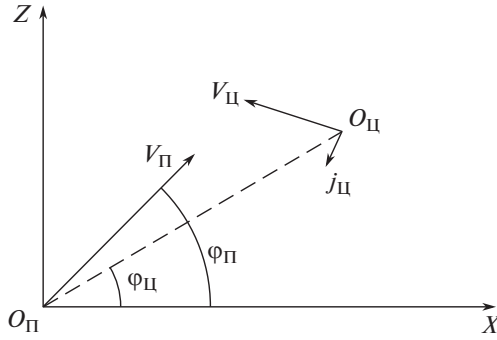


Рис. 3. Геометрия взаимного расположения цели и перехватчика.

до цели и скорость ее изменения; ξ_{Π} и ξ_{Σ} – центрированные гауссовские возмущения с известными интенсивностями.

Геометрические соотношения перехватчика и цели показаны на рис. 3, на котором O_{Σ} и O_{Π} – точки расположения цели и перехватчика, а V_{Σ} и V_{Π} – векторы их скорости.

Поставив в соответствие (28), (29) с (3), (2), получим

$$(30) \quad \mathbf{x}_T = \begin{bmatrix} \varphi_{\Sigma} \\ \omega_{\Sigma} \end{bmatrix}, \quad \mathbf{F}_T = \begin{bmatrix} 0 & 1 \\ 0 & -\frac{2\dot{\Delta}}{\Delta} \end{bmatrix}, \quad \mathbf{x}_y = \begin{bmatrix} \varphi_{\Pi} \\ \omega_{\Pi} \end{bmatrix};$$

$$\mathbf{F}_y = \begin{bmatrix} 0 & 1 \\ 0 & -\frac{1}{T} \end{bmatrix}, \quad \mathbf{B}_y = \begin{bmatrix} 0 \\ \frac{b}{T} \end{bmatrix}, \quad \mathbf{u} = j_{\Pi}, \quad \boldsymbol{\xi}_x = \begin{bmatrix} \xi_{\Sigma} \\ \xi_{\Pi} \end{bmatrix}.$$

Рассматривая матрицы \mathbf{Q} , \mathbf{G} и \mathbf{K} в (27) в приложении к (28), (29), будем иметь:

$$(31) \quad \mathbf{Q} = \begin{bmatrix} q_{11} & q_{12} \\ q_{21} & q_{22} \end{bmatrix}; \quad \mathbf{G} = \begin{bmatrix} g_{11} & g_{12} \\ g_{21} & g_{22} \end{bmatrix}; \quad \mathbf{K} = k_j.$$

Используя (30)–(31) в (26), получим:

$$(32) \quad j_{\Pi} = \frac{1}{k_j} \begin{bmatrix} 0 & \frac{b}{T} \end{bmatrix} \left\{ \begin{bmatrix} q_{11} & q_{12} \\ q_{21} & q_{22} \end{bmatrix} \begin{bmatrix} \hat{\varphi}_{\Sigma} - \hat{\varphi}_{\Pi} \\ \hat{\omega}_{\Sigma} - \hat{\omega}_{\Pi} \end{bmatrix} + \begin{bmatrix} g_{11} & g_{12} \\ g_{21} & g_{22} \end{bmatrix} \begin{bmatrix} 0 \\ \left(\frac{1}{T} - \frac{2\dot{\Delta}}{\Delta} \right) \hat{\omega}_{\Sigma} \end{bmatrix} \right\};$$

$$j_{\Pi} = K_{\varphi s}(\hat{\varphi}_{\Sigma} - \hat{\varphi}_{\Pi}) + K_{\omega s}(\hat{\omega}_{\Sigma} - \hat{\omega}_{\Pi}) + K_{sy}\hat{\omega}_{\Sigma};$$

$$(33) \quad K_{\varphi s} = \frac{bq_{21}}{k_j T}, \quad K_{\omega s} = \frac{bq_{22}}{k_j T}, \quad K_{sy} = \frac{bg_{22}}{k_j T} \left(\frac{1}{T} - \frac{2\dot{\Delta}}{\Delta} \right).$$

Анализ (32), (33) позволяет сделать следующие выводы.

На больших расстояниях, когда $\omega_{\Pi} \rightarrow 0$, метод вырождается в стационарную разновидность пропорционально-дифференциального метода со всеми особенностями его применения [8]. При этом перераспределение управления от устранения угловых ошибок к линейным промахам определяется соотношением штрафов q_{21} к q_{22} .

Добиться постоянного согласования динамических свойств перехватчика и цели в течение всего процесса наведения не удастся, поскольку $T \approx \text{const}$, а D и \dot{D} изменяются в процессе наведения. В связи с этим всегда будет иметь место текущая вынужденная составляющая ошибок $\Delta\varphi$ и $\Delta\omega$.

Специфической особенностью метода является резкое нарастание роли третьего слагаемого на малых дальностях, что позволяет существенно повысить конечную точность наведения [23].

6. Заключение

В обзоре на качественном уровне рассмотрены варианты методов наведения на воздушные объекты различных типов, позволяющие автоматически изменять управленческие приоритеты в процессе самонаведения, обеспечивая его более высокую адекватность современным условиям воздушного противоборства.

Использование рассмотренных вариантов позволяет оптимизировать системы наведения в классе широко распространенных двухкритериальных задач, когда система должна быть одновременно наилучшей по различным, зачастую противоречащим друг другу критериям. Кроме того, комбинированное использование всех четырех подходов позволяет оптимизировать системы и для трехкритериальных задач. При этом в зависимости от используемых моделей и функционалов качества можно получить большой набор методов наведения, адаптированных под решение различных задач.

В целом можно утверждать, что использование рассмотренных выше приемов изменения приоритетов управления позволит расширить области применения летательных аппаратов различного назначения, не требуя усложнения информационного обеспечения.

СПИСОК ЛИТЕРАТУРЫ

1. *Попов И.М., Хамзатов М.И.* Война будущего. Концептуальные основы и практические выводы. М.: Кучково поле, 2017, 832 с.
2. *Федосов Е.А.* Реализация сетевцентрической технологии ведения боевых действий потребует создания БРЛС нового поколения // Фазатрон. 2007. № 1,2. С. 11–44.
3. *Верба В.С.* Авиационные комплексы радиолокационного дозора и наведения. Принципы построения, проблемы разработки и особенности функционирования. М.: Радиотехника, 2014, 528 с.
4. Авиация ВВС России и научно-технический прогресс. Боевые комплексы и системы вчера, сегодня, завтра / под. ред. Е.А. Федосова. М.: Дрофа, 2005, 734 с.
5. *Верба В.С., Загребельный И.Р., Меркулов В.И.* Метод наведения на воздушную цель в составе плотной группы // Радиотехника и электроника. 2020. № 11. С. 1091–1100.

6. Меркулов В.И. Нестационарные методы самонаведения // Вестник воздушно-космической обороны. 2020. № 1. С. 25–39.
7. Меркулов В.И., Забелин Н.В. Разработка алгоритмов траекторного управления носителем, обеспечивающих разрешение воздушных целей в плотной группе // Радиотехника. 2012. № 10. С. 107–111.
8. Авиационные системы радиопреимущества: учебник для военных и гражданских ВУЗов / Под ред. В.И. Меркулова. М.: Изд-во ВВИА им. проф. Н.Е. Жуковского, 2008, 423 с.
9. Меркулов В.И. Адаптация алгоритмов траекторного управления самолетом к режимам работы бортовой РЛС // Информационно-измерительные и управляющие системы. 2010. № 9. С. 23–26.
10. Paul Zarchan. Tactical and Strategic Missile Guidance. Sixth Edition, 2012.
11. John H. Blakelock. Automatic Control of Aircraft and Missiles. Second Edition, 1991.
12. Shneydor N.A. Missile Guidance And Pursuit Kinematics, Dynamics and Control, 1998.
13. George M. Siouris. Missile Guidance and Control Systems, New York: Springer, 2004.
14. Rafael Yanushevsky. Modern Missile Guidance, CRC Press, 2008.
15. Верба В.С., Капустян С.Г., Меркулов В.И., Харьков В.И. Оптимизация радиоэлектронных систем управления ч. 2. Прикладные методы и алгоритмы теории оптимального управления // Информационно-измерительные и управляющие системы. 2013. № 3. С. 3–21.
16. Крутько П.Д., Максимов А.И., Скворцов Л.М. Алгоритмы и программы проектирования автоматических систем. М.: Радио и связь, 1988.
17. Верба В.С., Меркулов В.И., Садовский П.А. Алгоритм индивидуального наведения на воздушную цель в составе плотной группы // Информационно-измерительные и управляющие системы. 2009. Т. 7. № 9. С. 3–7.
18. Kaissa M. Miettinen. Nonlinear Multiobjective Optimization. 1999, 298 p.
19. Matthias Ehrgott. Multicriteria Optimization, Second Edition, Springer, 2005, 323 p.
20. Oscar Brito Augusto, Fouad Bennis, Stephane Caro. Multiobjective Optimization Involving Quadratic Functions // J. Optim. Vol. 2014, Article ID 406092, 11 p.
21. Меркулов В.И. Учет динамичности летательных аппаратов при синтезе алгоритмов, сопровождения бортовыми РЛС // Успехи современной радиоэлектроники. 2012. № 8. С. 68–74.
22. Меркулов В.И., Соколов Д.А. Учет несоответствия динамических свойств подсистем при их совместном функционировании // АиТ. 2017. № 5. С. 3–15.
Merkulov V.I., Sokolov D.A. Account Of The Mismatch Between The Dynamic Properties Of Jointly Operating Systems // Autom. Remote Control. 2017. No. 5. P. 771–781.
23. Информационно-измерительные и управляющие радиоэлектронные системы и комплексы / Под ред. В.С. Вербы. М.: Радиотехника. 2020, 490 с.

Статья представлена к публикации членом редколлегии Р.А. Мунасыповым.

Поступила в редакцию 08.12.2020

После доработки 22.04.2021

Принята к публикации 29.04.2021